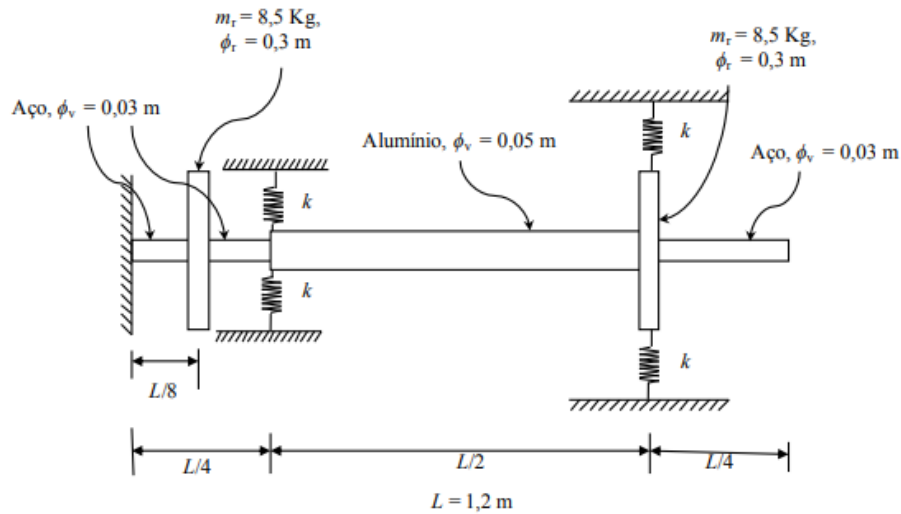


- Aluno: Victor Afonso Bauler

Enunciado - Trabalho 1

Seja abaixo um eixo engastado-livre de aço ($\rho = 7700 \text{ Kg}$ e $E = 2,1\text{E}11 \text{ Pa}$) e alumínio ($\rho = 2700 \text{ Kg}$ e $E = 7,1\text{E}10 \text{ Pa}$) de diferentes diâmetros e que inclui duas engrenagens (considere a inércia de translação e rotação) e duas suspensões cada uma composta de duas molas de rigidez $k = 10 \text{ kN/m}$.



Questões

- 1) Utilize o Método de Rayleigh-Ritz (MRR) para representar o movimento de flexão do eixo com funções base na forma dos modos de uma viga engastada-livre de seção uniforme dados por

$$d_j(x) = \sin(\eta_j x) - \sinh(\eta_j x) + D_j [\cos(\eta_j x) - \cosh(\eta_j x)],$$

onde

$$D_j = \frac{\cos(\eta_j L) + \cosh(\eta_j L)}{\sin(\eta_j L) - \sinh(\eta_j L)},$$

e η_j são as soluções da equação transcendental

$$\cos(\eta L) \cosh(\eta L) = -1$$

mas que podem ser aproximadas por

$$\eta_j \approx \begin{cases} 1,875/L, & j = 1 \\ \frac{(j - 1/2)\pi}{L}, & j > 1 \end{cases}$$

Na sequência, faça:

- Determine as quatro primeiras frequências naturais e formas modais utilizando 8 funções base;
- Análise a convergência dos valores obtidos para as quatro primeiras frequências naturais para um número de funções base de $n = 4, 8, 12, 16$. Mostre os resultados através de um gráfico das frequências naturais em função do número de funções base. Comente os resultados.

2. Utilizando o Método de Elementos Finitos (FEM) faça:

- a) Compare os valores obtidos para as quatro primeiras frequências naturais para um número de elementos igual a 8, 16 e 64. Comente os resultados.
- b) Compare as frequências naturais e formas modais dos primeiros quatro modos obtidas via MRR (16 funções base) e FEM (64 elementos).

Resolução

Método de Rayleigh-Ritz (MRR)

Para a solução do problema com o Método de Rayleigh-Ritz (MRR), serão adotados os seguintes passos:

1. Obtenção da matriz de rigidez e da matriz de massa, a partir das equações de energia, usando as funções de base previamente definidas;
2. Solução da equação do movimento via método modal;
3. Substituição dos coeficientes obtidos na equação do movimento, para obtenção da solução aproximada.

1. Obtenção das matrizes de rigidez e massa (MRR)

O Método de Rayleigh-Ritz aproxima a solução de $v(x, t)$ através de uma expansão na forma:

$$v(x, t) = \sum_{j=1}^N d_j(x) q_j(t)$$

Em que:

- $d_j(x)$ são as funções de base, previamente definidas;
- $q_j(t)$ são os coeficientes a serem determinados.

Dessa forma o MRR (Método de Rayleigh-Ritz) transforma um problema contínuo em um problema discreto com N graus de liberdade.

O número finito de GL (graus de liberdade) permite a utilização das equações de Lagrange:

$$\frac{d}{dt} \left(\frac{\partial T}{\partial \dot{q}_j} \right) + \frac{\partial D}{\partial \dot{q}_j} + \frac{\partial U}{\partial q_j} = Q_j$$

Em que:

- T é a energia cinética;
- D é a energia dissipada;
- U é a energia potencial;
- Q_j é a força externa aplicada no grau de liberdade j ;

- q_j são as coordenadas generalizadas.

Ou pode-se utilizar diretamente as definições de energias na forma matricial:

$$T = \frac{1}{2} \{\dot{q}\}^T [M] \{\dot{q}\}$$

$$U = \frac{1}{2} \{q\}^T [K] \{q\}$$

$$\delta W = \{Q\}^T \{\delta q\}$$

Em que:

- $[M]$ é a matriz de massa;
- $[K]$ é a matriz de rigidez;
- $\{Q\}$ é o vetor de forças externas;
- δW é o trabalho virtual.

Energia cinética

Como foi deduzido durante a disciplina, a energia cinética para uma viga em flexão é dada por:

$$T = \frac{1}{2} \int_0^L \rho A \left(\frac{\partial v}{\partial t} \right)^2 dx$$

Além disso, a viga em questão possui duas engrenagens, as quais possuem massa m_r e momento polar de inércia J , localizadas em $\frac{L}{8}$ e $\frac{3L}{4}$. Dessa forma, segundo Petyt (2010), a energia cinética total é dada por:

$$T = \frac{1}{2} \int_0^L \rho A \left(\frac{\partial v}{\partial t} \right)^2 dx + \frac{1}{2} m_r \left(\frac{\partial v(\frac{L}{8}, t)}{\partial t} \right)^2 + \frac{1}{2} m_r \left(\frac{\partial v(\frac{3L}{4}, t)}{\partial t} \right)^2 + \frac{1}{2} J \left(\frac{\partial^2 v(\frac{L}{8}, t)}{\partial x \partial t} \right)^2 + \frac{1}{2} J \left(\frac{\partial^2 v(\frac{3L}{4}, t)}{\partial x \partial t} \right)^2$$

Energia potencial

Também foram feitas as deduções em aula de que a energia potencial é dada por:

$$U = \frac{1}{2} \int_0^L EI_z \left(\frac{\partial^2 v}{\partial x^2} \right)^2 dx$$

A viga em questão possui 4 molas, sendo elas conectadas em suspensão, de 2 a 2 (em $\frac{L}{4}$ e $\frac{3L}{4}$), com rigidez k . Dessa forma a energia potencial total é dada por:

$$U = \frac{1}{2} \int_0^L EI_z \left(\frac{\partial^2 v}{\partial x^2} \right)^2 dx + \frac{1}{2} 2k \left(v\left(\frac{L}{4}, t\right) \right)^2 + \frac{1}{2} 2k \left(v\left(\frac{3L}{4}, t\right) \right)^2$$

Trabalho Virtual

O trabalho virtual é dado por:

$$\delta W = \int_0^L F_y \delta v \, dx$$

Nesse caso, como não há forças externas, o trabalho virtual é nulo.

Matrizes de rigidez e massa

Substituindo a expansão de $v(x, t)$ nas equações de energia para obtenção das matrizes de rigidez e massa, tem-se:

$$M_{jk} = \int_0^L \rho A d_j(x) d_k(x) \, dx + m_r d_j(x = \frac{L}{8}) d_k(x = \frac{L}{8}) + m_r d_j(x = \frac{3L}{4}) d_k(x = \frac{3L}{4}) \\ + J d'_j(x = \frac{L}{8}) d'_k(x = \frac{L}{8}) + J d'_j(x = \frac{3L}{4}) d'_k(x = \frac{3L}{4})$$

$$K_{jk} = \int_0^L EI_z d''_j(x) d''_k(x) \, dx + 2k d_j(x = \frac{L}{4}) d_k(x = \frac{L}{4}) + 2k d_j(x = \frac{3L}{4}) d_k(x = \frac{3L}{4})$$

$$Q_j = \int_0^L F_y d_j(x) \, dx = 0$$

2. Solução da equação do movimento via método modal (MRR)

Com as matrizes de rigidez e massa obtidas, é possível resolver a equação do movimento:

$$[M]\{\ddot{q}\} + [K]\{q\} = \{Q\}$$

Como não há forças externas temos que:

$$[M]\{\ddot{q}\} + [K]\{q\} = \{0\}$$

No caso de solução via método modal, o problema de Autovalor fica:

$$([K] - \omega^2 [M])\{a\} = \{0\}$$

Tal que:

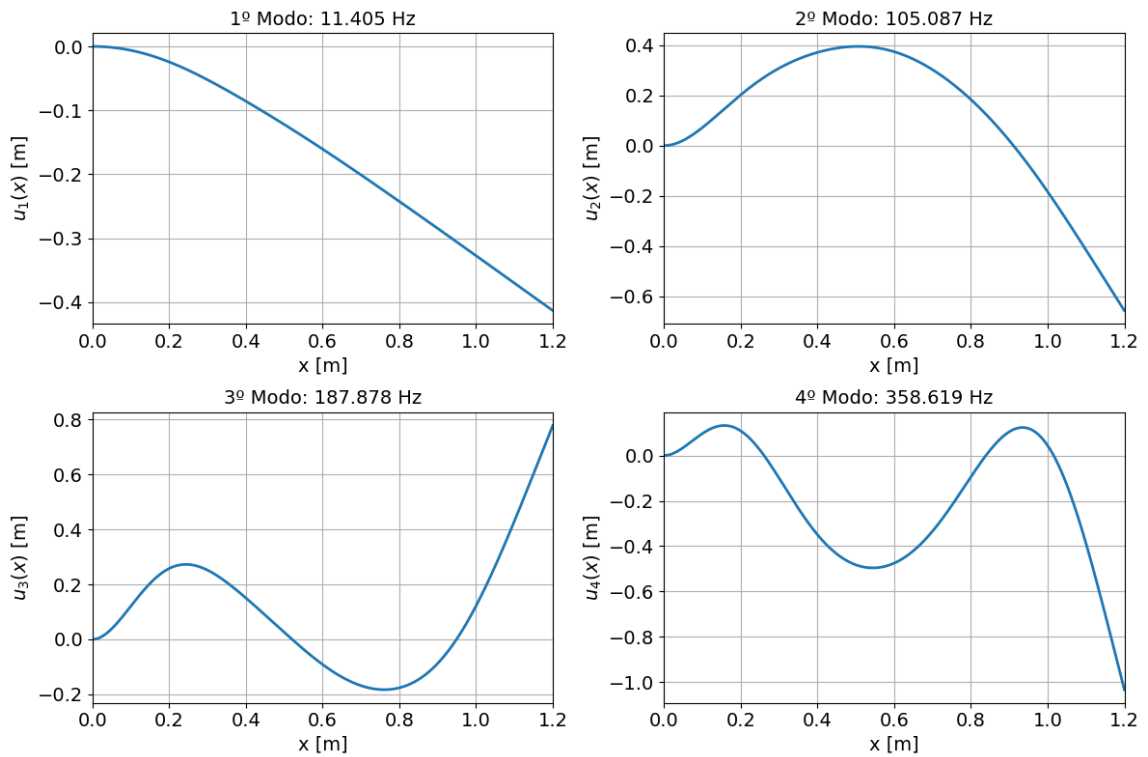
- w_n^2 são os autovalores;
- a_n são os autovetores.

E as autofunções em termos de $v(x, t)$ são dadas por:

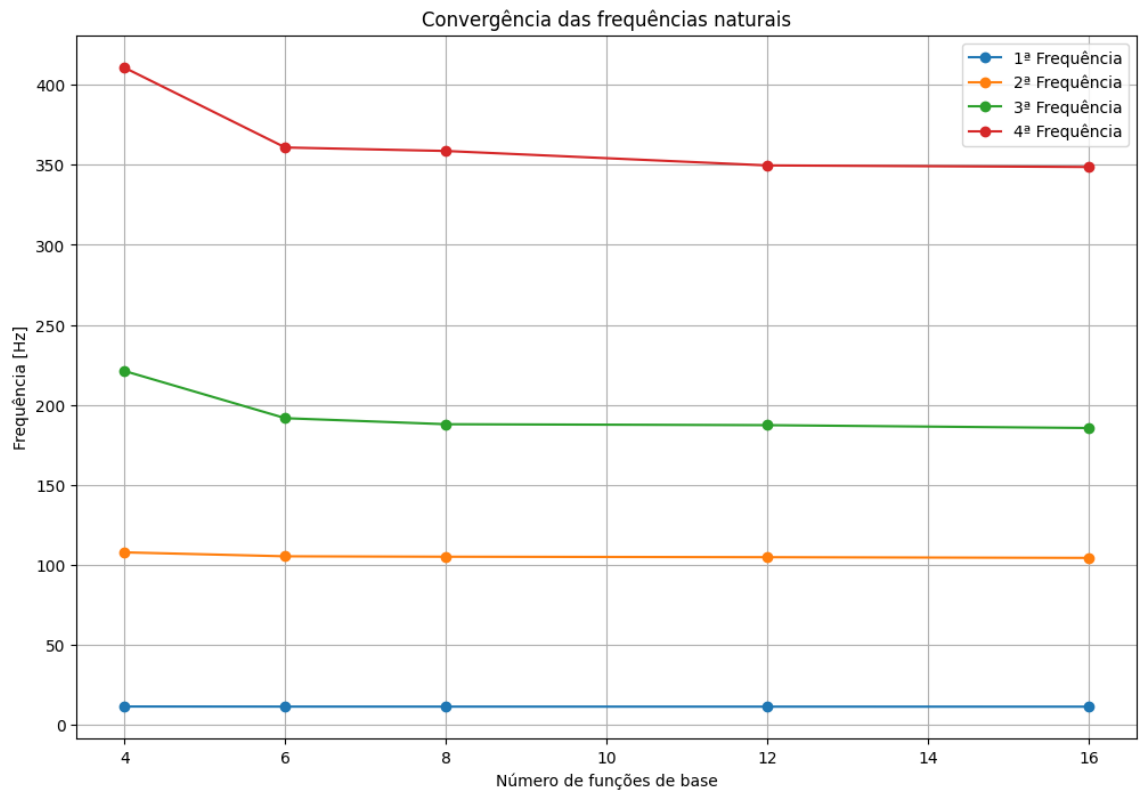
$$u_n(x) = \{d(x)\}^T \{a_n\}$$

Obtenção dos modos de vibração e análise de convergência

A seguir serão apresentadas as formas modais e frequências naturais obtidas utilizando 8 funções de base.



Em seguida é apresentado o gráfico de convergência das frequências naturais, nota-se que para as duas primeiras frequências naturais 4 funções de base já encontram uma boa aproximação (considerando o resultado para 16 funções de base como referência), porém para as terceira e quarta frequências essa quantidade já não representa uma boa aproximação.



Método de Elementos Finitos (FEM)

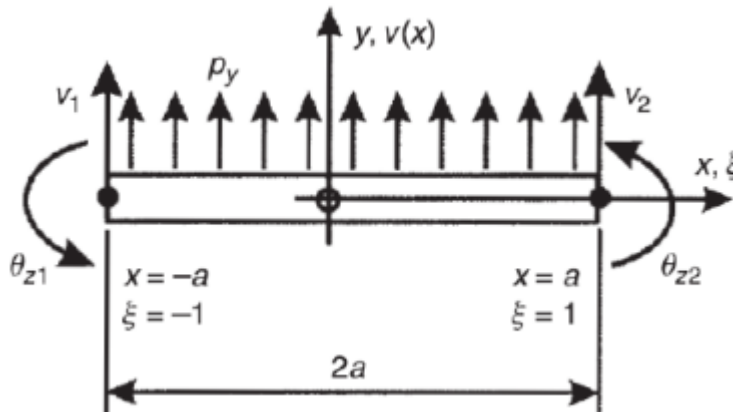
Para a solução do problema com o Método dos Elementos Finitos (FEM), serão adotados os seguintes passos:

1. Divide-se a estrutura em elementos, formando uma malha, que representa o problema em estudo em um sistema discreto;
2. Desse conjunto de elementos define-se um conjunto de pontos - chamados de nós - ao longo das bordas dos elementos, onde serão avaliados os parâmetros físicos;
3. Toma-se um conjunto de funções, chamadas de funções de forma, que atendem aos princípios do MRR, sendo que cada função fornece um valor unitário

para um determinado GL e zero para os demais; 4. Realiza-se a análise do problema tomando-se as funções de forma dentro dos elementos, similarmente ao que era feito no MRR para o sistema completo.

Funções de forma para elemento de viga em flexão

Elemento de viga em flexão



Fonte: Fahy and Gardonio (2007)

Como foi deduzido durante a disciplina, um elemento de viga com 2 nós e 4 GL pode ser representado por 4 funções de forma, as quais serão representadas por um polinômio de terceiro grau, que terá valor unitário em cada GL e zero nos demais.

As funções de forma para o elemento de viga em flexão são agrupadas em um vetor $\eta(\xi)$:

$$\{\eta(\xi)\} = \begin{bmatrix} \frac{1}{4}(2 - 3\xi + \xi^3) \\ \frac{a}{4}(1 - \xi - \xi^2 + \xi^3) \\ \frac{1}{4}(2 + 3\xi - \xi^3) \\ \frac{a}{4}(-1 - \xi + \xi^2 + \xi^3) \end{bmatrix}$$

Matrizes de rigidez e massa para elemento de viga em flexão

A partir do vetor de funções de forma, é possível obter as matrizes de rigidez e massa para o elemento de viga em flexão.

A matriz de rigidez é obtida a partir da seguinte integral:

$$K_e = \int_{-1}^1 \frac{EI_z}{a^3} (\eta''(\xi))(\eta''(\xi))^T d\xi$$

A matriz de massa é obtida a partir da seguinte integral:

$$M_e = \int_{-1}^1 \rho A a (\eta(\xi))(\eta(\xi))^T d\xi$$

As contribuições das molas e das engrenagens são adicionadas no GL correspondente.

Obtenção das matrizes globais

A partir das matrizes de rigidez e massa para o elemento de viga em flexão, é possível obter as matrizes globais de rigidez e massa.

Para isso, é necessário definir a matriz de conectividade, que relaciona os GL de cada elemento com os GL globais.

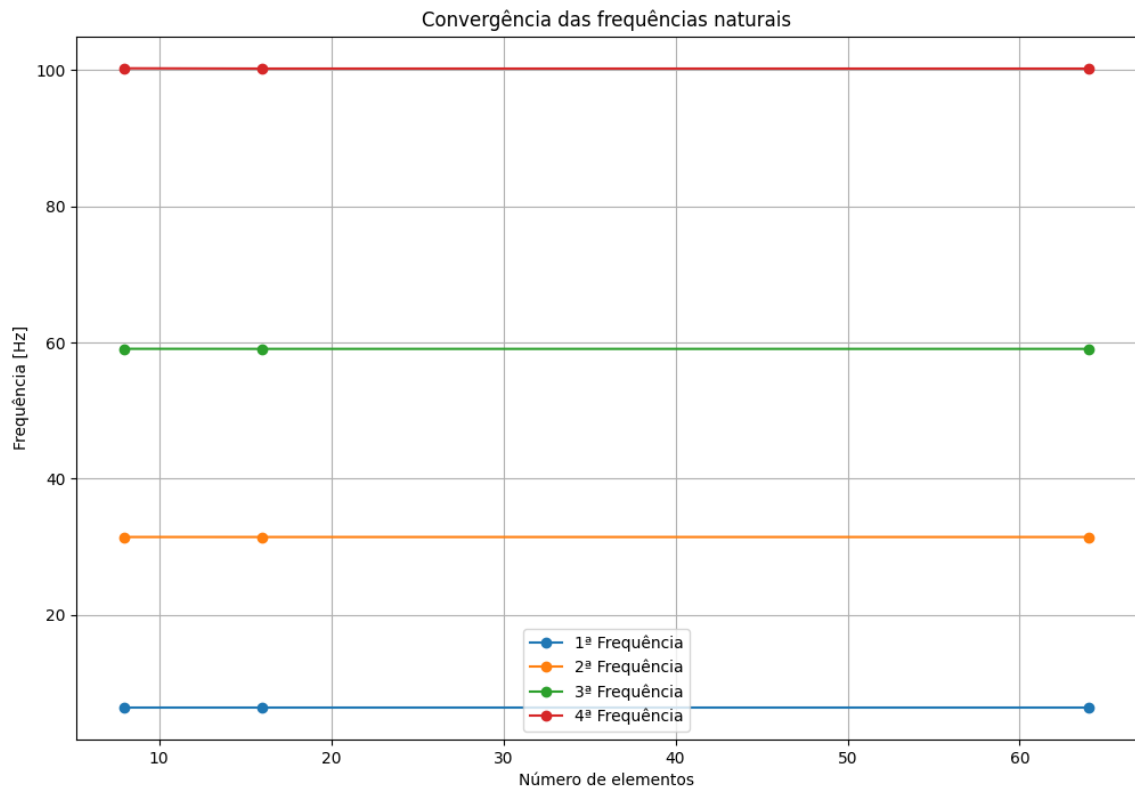
A matriz de conectividade para o problema em estudo é dada por:

GL do Elemento (e)	Posição nas Matrizes Globais (Linha e Coluna)
$v_{1,e}$	$2e - 1$
$\theta_{z1,e}$	$2e$
$v_{2,e}$	$2e + 1$
$\theta_{z2,e}$	$2e + 2$

A partir da matriz de conectividade é possível executar o Processo de Montagem, que consiste em somar as contribuições de cada elemento para as matrizes globais.

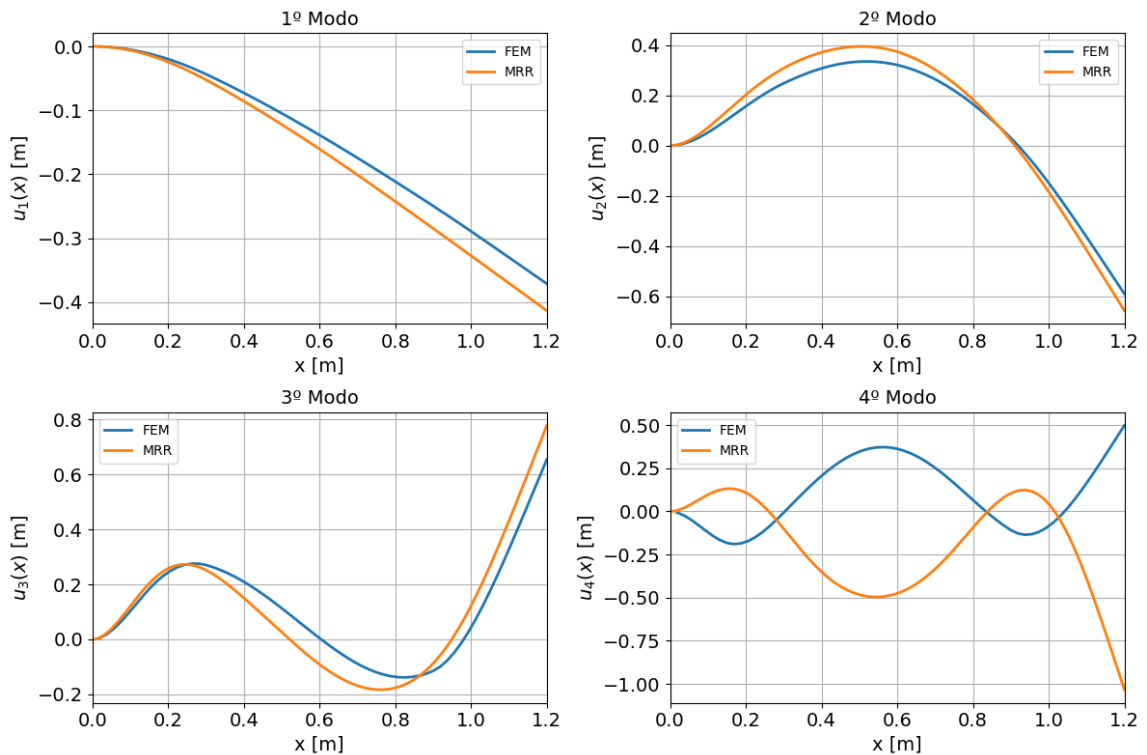
A partir das matrizes globais será possível resolver o problema de Autovalor, da mesma forma já relatada para o MRR.

Obtenção dos modos de vibração e análise de convergência



Nota-se que para o FEM a convergência é mais rápida, sendo possível utilizar um número menor de elementos e já obter um bom resultado.

No entanto, houve uma divergência das frequências obtidas pelo MRR, o autor buscou identificar a causa dessa divergência, revisando os códigos de implementação, mas não foi possível identificar o problema, uma possível explicação seria um problema na resolução das integrais simbólicas para obtenção das matrizes de massa e rigidez no MRR, pois as funções de base são bem complexas e o processo teve um alto custo computacional.



Já ao comparar as formas modais obtidas pelo MRR e FEM, notou-se uma boa concordância entre os 3 primeiros modos.

Conclusão

Neste trabalho, foram implementados dois métodos numéricos para determinar as frequências naturais e modos de vibração de uma viga engastada: o Método de Rayleigh-Ritz (MRR) e o Método de Elementos Finitos (FEM). Ambas as implementações foram bem-sucedidas, demonstrando suas capacidades individuais.

No entanto, foi observada uma divergência entre as frequências naturais obtidas pelo MRR e pelo FEM. Uma possível razão para essa discrepância pode ser atribuída à implementação das integrais simbólicas para obter as matrizes de massa e rigidez. Essas divergências sugerem a necessidade de uma análise mais aprofundada das metodologias empregadas, a fim de compreender melhor o impacto dessas integrais simbólicas nos resultados.

Além disso, o FEM mostrou-se consideravelmente mais eficaz do que o MRR em termos de custo computacional. Enquanto o FEM exigiu apenas 3 segundos para executar a malha com 64 elementos, o MRR levou cerca de 30 minutos para obter as matrizes com 16 funções de base. Essa diferença de tempo destaca a vantagem do FEM em termos de eficiência computacional.

Outra vantagem do FEM sobre o MRR é a sua capacidade de obter automaticamente as funções de forma, eliminando a necessidade de conhecimento prévio sobre quais funções de base utilizar. Isso confere ao FEM uma maior flexibilidade e aplicabilidade em estruturas complexas, como vigas engastadas.

Em resumo, ambos os métodos, MRR e FEM, foram capazes de fornecer resultados satisfatórios para o estudo da viga engastada. No entanto, a divergência nas frequências naturais destaca a importância de uma análise mais detalhada das integrais simbólicas utilizadas. Além disso, o FEM demonstrou ser mais eficiente em termos de custo computacional e mais flexível em relação à seleção das funções de forma, tornando-o uma escolha mais viável para a análise de vigas engastadas e outras estruturas complexas.

Implementação no Python

Importando bibliotecas necessárias

- Será feito para ambas implementações do MRR e do FEM (Finite Element Method)

Serão utilizadas as bibliotecas:

- numpy: para operações matriciais;
- matplotlib: para plotar os gráficos;
- sympy: para realizar as integrais simbólicas;

```
In [47]: import numpy as np
import sympy as sp
from scipy import linalg
import matplotlib.pyplot as plt

from IPython.display import display
```

Definindo funções de base

O primeiro passo para uma integração simbólica é criar os símbolos que serão utilizados, o que é feito com `sp.symbols()`.

Em seguida são definidos η_j , D_j e d_j (O mesmo também é feito para η_k , D_k e d_k).

```
In [48]: x, j, k = sp.symbols('x j k')
L = 1.2

eta_j = sp.Piecewise((1.875/L, sp.Eq(j, 1)), ((j-1/2)*sp.pi/L, j > 1)).evalf(4)
eta_k = sp.Piecewise((1.875/L, sp.Eq(k, 1)), ((k-1/2)*sp.pi/L, k > 1)).evalf(4)

D_j = (sp.cos(eta_j*L)+sp.cosh(eta_j*L))/(sp.sin(eta_j*L)-sp.sinh(eta_j*L))
D_k = (sp.cos(eta_k*L)+sp.cosh(eta_k*L))/(sp.sin(eta_k*L)-sp.sinh(eta_k*L))

d_j = sp.sin(eta_j*x) - sp.sinh(eta_j*x) + D_j*(sp.cos(eta_j*x) - sp.cosh(eta_j*x))
d_k = sp.sin(eta_k*x) - sp.sinh(eta_k*x) + D_k*(sp.cos(eta_k*x) - sp.cosh(eta_k*x))
```

Obtenção das matrizes de rigidez e massa

Para obtenção das matrizes de massa e rigidez, é primeiro definido simbolicamente a área

da seção transversal da viga, o momento de inércia da seção transversal da viga, o módulo de elasticidade da viga e a densidade da viga (também de forma simbólica variando com x).

```
In [49]: A = sp.Piecewise((sp.pi* (0.03)**2 / 4, (x>=0) & (x<L/4)), (sp.pi* (0.05)**2 / 4,
rho = sp.Piecewise((7700, (x>=0) & (x<L/4)), (2700, (x>=L/4) & (x<3*L/4)), (7700,
E = sp.Piecewise((2.1e11, (x>=0) & (x<L/4)), (7.1e10, (x>=L/4) & (x<3*L/4)), (2.1e
I_z = sp.Piecewise(((sp.pi/4)*(0.03/2)**4, (x>=0) & (x<L/4)), ((sp.pi/4)*(0.05/2)**
```

Em seguida é definido simbolicamente como os termos M_{jk} e K_{jk} deverão ser calculados, e também são definidos o número de funções de base desejados `nfunc`, e os parâmetros referente as engrenagens e as molas de suspensão.

```
In [50]: nfunc = 16
m_r = 8.5
J = 0.25 * m_r * 0.15**2

rotacional_eng = J*d_j.diff(x, 1).subs(x, L/8)*d_k.diff(x, 1).subs(x, L/8) + J*d_j.
translacional_eng = m_r*d_j.subs(x, L/8)*d_k.subs(x, L/8) + m_r*d_j.subs(x, 3*L/4)*
M_jk = sp.Integral(rho*A*d_j*d_k, (x, 0, L)) + translacional_eng + rotacional_eng

k_mola = 10e3
molas = 2 * k_mola * (d_j.subs(x, L/4) * d_k.subs(x, L/4)) + 2 * k_mola * (d_j.subs
K_jk = sp.Integral(E*I_z*sp.diff(d_j, x, 2)*sp.diff(d_k, x, 2), (x, 0, L)) + molas
```

A seguir serão calculados os termos M_{jk} e K_{jk} e associados a cada linha j e coluna k .

O método `.subs()` é utilizado para substituir os valores de j e k nas funções de base.

O método `.doit()` é utilizado para que o SymPy realize a integração simbólica.

O método `.evalf()` é utilizado para que o SymPy realize os cálculos numéricos finais, como substituir o valor de π (após a integração simbólica).

Em seguida as matrizes M e K obtidas são convertidas para `numpy.array` e são salvas no formato `.npy` para que possam ser utilizadas posteriormente (evitando precisar recalcular as matrizes a cada execução do código).

- Importante: Esse código pode levar algo em torno de 30 ~ 40 minutos para ser executado, pois estão sendo realizadas as integrações simbólicas.

```
In [222... M = sp.Matrix.zeros(nfunc, nfunc)
K = sp.Matrix.zeros(nfunc, nfunc)
for i in range(nfunc):
    for k_ in range(i+1):

        M[i, k_] = M_jk.subs({j: i+1, k: k_+1}).doit().evalf()
        K[i, k_] = K_jk.subs({j: i+1, k: k_+1}).doit().evalf()

M_array = np.array(M)
K_array = np.array(K)

# # Save the NumPy array to a file
np.save('mass_matrix_mrr.npy', M_array)
np.save('stiffness_matrix_mrr.npy', K_array)
```

Aqui são carregadas as matrizes de massa e rigidez obtidas anteriormente, e como a matriz é transposta, ou seja, $M^T = M$, os cálculos anteriores tinham sido realizados apenas para a matriz triangular inferior, e aqui é feita a simetrização da matriz.

```
In [51]: M = np.load('mass_matrix_mrr.npy', allow_pickle=True)
K = np.load('stiffness_matrix_mrr.npy', allow_pickle=True)

for k in range(nfunc):
    for i in range(k+1):

        M[i, k] = M[k, i]
        K[i, k] = K[k, i]

M= sp.Matrix(M)
K= sp.Matrix(K)
```

Em seguida serão mostradas as matrizes obtidas, utilizando o método `evalf(n)` especificando o número de dígitos `n` que serão mostrados por cada elemento da matriz.

```
In [235... M.evalf(5)
```

```
Out[235]:
```

39.854	3.1166	-16.367	20.577	-8.899	-4.6948	19.269	-
3.1166	9.8416	-1.345	5.077	7.7326	-3.0462	8.1066	0
-16.367	-1.345	24.611	-2.9401	11.689	18.495	-8.7125	1
20.577	5.077	-2.9401	33.087	6.2651	12.293	22.464	-
-8.899	7.7326	11.689	6.2651	37.436	7.0133	15.571	2
-4.6948	-3.0462	18.495	12.293	7.0133	45.074	3.7478	1
19.269	8.1066	-8.7125	22.464	15.571	3.7478	45.025	1
-21.495	0.76765	12.264	-11.879	21.745	10.578	10.076	5
11.848	-9.9332	-3.218	8.1619	-23.243	30.862	11.425	8
2.1154	6.449	-21.73	-12.646	12.317	-31.537	34.022	4
-19.727	-13.856	2.3685	-28.575	-21.37	11.834	-13.207	3
20.117	-9.395	-25.151	-4.1343	-38.592	-5.5696	8.1216	-
-61.077	5.2422	-18.414	-35.457	6.6683	-64.215	5.4764	3
-146.9	-20.003	-343.04	19.284	-50.129	24.914	-229.81	-
2641.5	-1401.3	-21.663	-728.66	-733.32	689.19	1463.6	7
$-2.0145 \cdot 10^6$	6.0105	11.852	-67600.0	-50671.0	33768.0	-16925.0	-

```
In [236... K.evalf(5)
```

```
Out[236]:
```

$2.304 \cdot 10^5$	$-2.853 \cdot 10^5$	$-3.7896 \cdot 10^5$	$3.3744 \cdot 10^5$	$7.0653 \cdot 10^5$	$1.264 \cdot 10^6$
$-2.853 \cdot 10^5$	$4.7655 \cdot 10^6$	$-1.0509 \cdot 10^6$	$-4.7413 \cdot 10^6$	$1.2232 \cdot 10^6$	$-3.3899 \cdot 10^6$
$-3.7896 \cdot 10^5$	$-1.0509 \cdot 10^6$	$3.6042 \cdot 10^7$	$-1.1261 \cdot 10^6$	$-3.6602 \cdot 10^7$	$2.7409 \cdot 10^6$
$3.3744 \cdot 10^5$	$-4.7413 \cdot 10^6$	$-1.1261 \cdot 10^6$	$1.2024 \cdot 10^8$	$5.0994 \cdot 10^5$	$-1.0336 \cdot 10^8$
$7.0653 \cdot 10^5$	$1.2232 \cdot 10^6$	$-3.6602 \cdot 10^7$	$5.0994 \cdot 10^5$	$3.3276 \cdot 10^8$	$1.8673 \cdot 10^6$
$1.264 \cdot 10^6$	$-3.3899 \cdot 10^6$	$2.7409 \cdot 10^6$	$-1.0336 \cdot 10^8$	$1.8673 \cdot 10^6$	$8.0511 \cdot 10^5$
$7.1582 \cdot 10^5$	$1.71 \cdot 10^6$	$-1.0042 \cdot 10^7$	$2.1866 \cdot 10^6$	$-1.7973 \cdot 10^8$	$1.7643 \cdot 10^6$
$-7.0463 \cdot 10^5$	$5.1181 \cdot 10^6$	$-4.6725 \cdot 10^5$	$2.1287 \cdot 10^7$	$4.1415 \cdot 10^5$	$-3.6042 \cdot 10^6$
$-1.3604 \cdot 10^6$	$-2.5901 \cdot 10^6$	$5.0294 \cdot 10^7$	$-3.0165 \cdot 10^6$	$3.8355 \cdot 10^7$	$-9.5555 \cdot 10^6$
$-2.1568 \cdot 10^6$	$5.9663 \cdot 10^6$	$-5.6015 \cdot 10^6$	$1.1785 \cdot 10^8$	$-3.4232 \cdot 10^6$	$-6.2237 \cdot 10^6$
$-1.037 \cdot 10^6$	$-1.9985 \cdot 10^6$	$1.8176 \cdot 10^7$	$-3.249 \cdot 10^6$	$1.2867 \cdot 10^8$	$-2.8555 \cdot 10^6$
$1.0735 \cdot 10^6$	$-3.2591 \cdot 10^7$	$1.2379 \cdot 10^6$	$-3.1591 \cdot 10^7$	$1.1459 \cdot 10^7$	$2.2409 \cdot 10^6$
$7.4335 \cdot 10^8$	$4.5958 \cdot 10^6$	$-6.6948 \cdot 10^8$	$5.0348 \cdot 10^6$	$-1.6179 \cdot 10^9$	$2.1743 \cdot 10^6$
$6.5483 \cdot 10^8$	$-9.5116 \cdot 10^6$	$7.8726 \cdot 10^6$	$2.0154 \cdot 10^{10}$	$5.1481 \cdot 10^6$	$9.8911 \cdot 10^6$
$4.5555 \cdot 10^{10}$	$3.2237 \cdot 10^6$	$6.9117 \cdot 10^{10}$	$-8.47 \cdot 10^{11}$	$7.2797 \cdot 10^{11}$	$3.3409 \cdot 10^6$
$-8.0065 \cdot 10^{11}$	$7.2875 \cdot 10^6$	$-2.2609 \cdot 10^6$	$-3.5834 \cdot 10^{12}$	$-6.6411 \cdot 10^5$	$-1.7643 \cdot 10^6$

Solução da equação do movimento via método modal

Em seguida é definido o número de funções de forma desejados em cada comparação (4, 6, 8, 10, 16).

E são calculadas as frequencias naturais e os modos de vibração para cada número de funções de forma desejado.

```
In [52]: M_array = np.array(M).astype(np.float64)
K_array = np.array(K).astype(np.float64)

n_funcoes = [4, 6, 8, 10, 12]

M_dict = {i: M_array[:, i] for i in n_funcoes}
K_dict = {i: K_array[:, i] for i in n_funcoes}
fn_dict = {}
a_dict = {}

for i in n_funcoes:
    # Autovalores e autovetores
    omega, a = linalg.eig(K_dict[i], M_dict[i])

    # Frequências naturais
    fn, ind = np.unique((np.sqrt(omega) / (2 * np.pi)).real, return_index=True)

    fn_dict[i] = fn

    # Ordenando os autovetores
    a = a[:, ind]

    # Normalização dos autovetores
```

```

D = np.sqrt(np.diag(np.dot(a.T, np.dot(M_dict[i], a))))
a = np.dot(a, np.diag(1/D))
a_dict[i] = a

```

Abaixo são calculadas as autofunções para os quatro primeiros modos

```

In [53]: u_x = sp.Matrix.zeros(4, 1)
         nfun = 8

         for i in range(4):
             aux = 0
             for k_ in range(nfun):
                 aux += a_dict[nfun][k_, i] * d_j.subs({j: k_+1}).evalf()
             u_x[i, 0] = aux

```

Em seguida é plotado o gráfico de cada um dos 4 modos de vibração, assim como a frequência natural associada, considerando a utilização de 8 funções de base com o método de Rayleigh-Ritz.

```

In [54]: N=4
         # Define the x-axis values

         # Set the size and position of the figure
         plt.figure(figsize=(12,8))
         x_plot = np.linspace(0, L, 1000)

         # Loop over each vibration mode
         for k_ in range(1, N+1):

             # Create a subplot for the current mode
             plt.subplot(2, 2, k_)

             # Plot the vibration mode
             plt.plot(x_plot, sp.lambdify(x, u_x[k_-1], 'numpy')(x_plot).real, linewidth=2, m

             # Add labels and titles
             plt.grid(True)
             plt.title(f"{k_}º Modo: {np.real(fn_dict[nfun][k_-1]):.3f} Hz", fontsize=14)
             plt.xlabel("x [m]", fontsize=14)
             plt.ylabel(fr"${u}_{k_}(x)$ [m]", fontsize=14)
             plt.xlim(0, L)

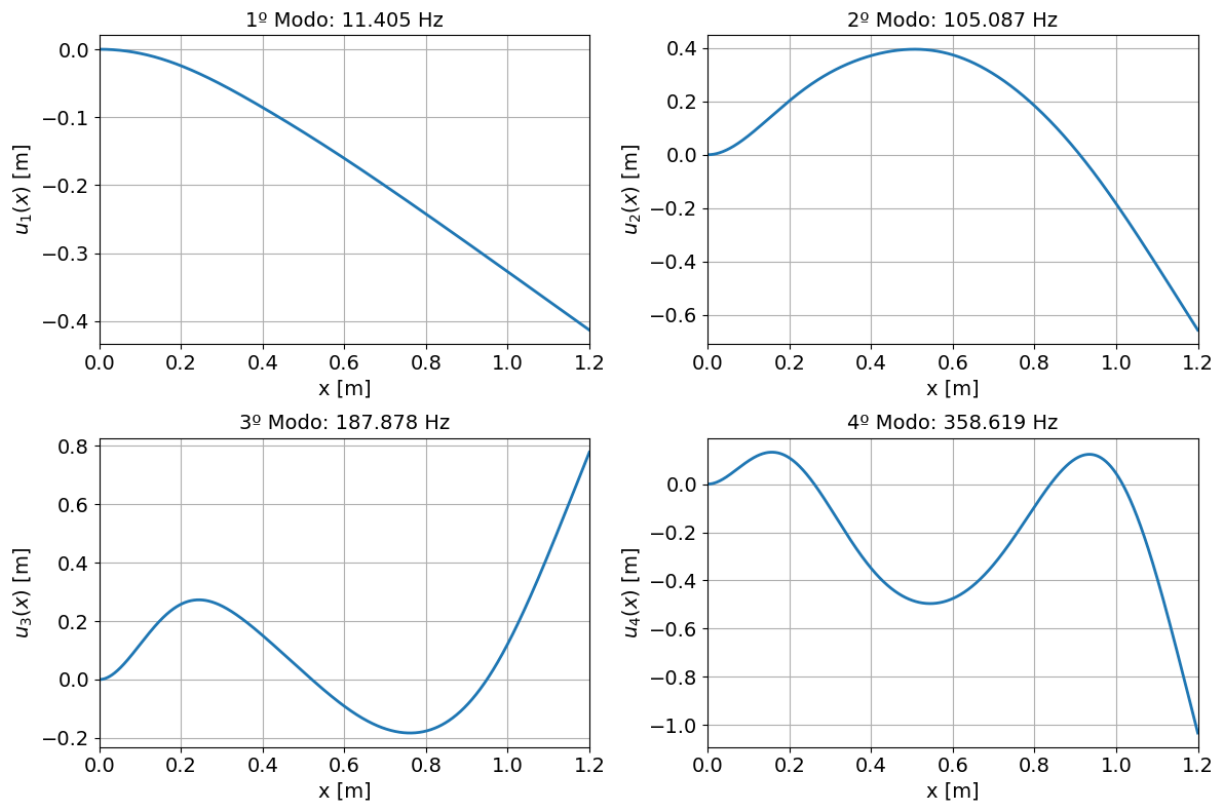
             # Set the tick labels
             plt.yticks(fontsize=14)

             # Set the tick label interpreter to latex
             plt.tick_params(labelsize=14)

         # Add spacing between subplots
         plt.tight_layout()

         # Show the plot
         plt.show()

```



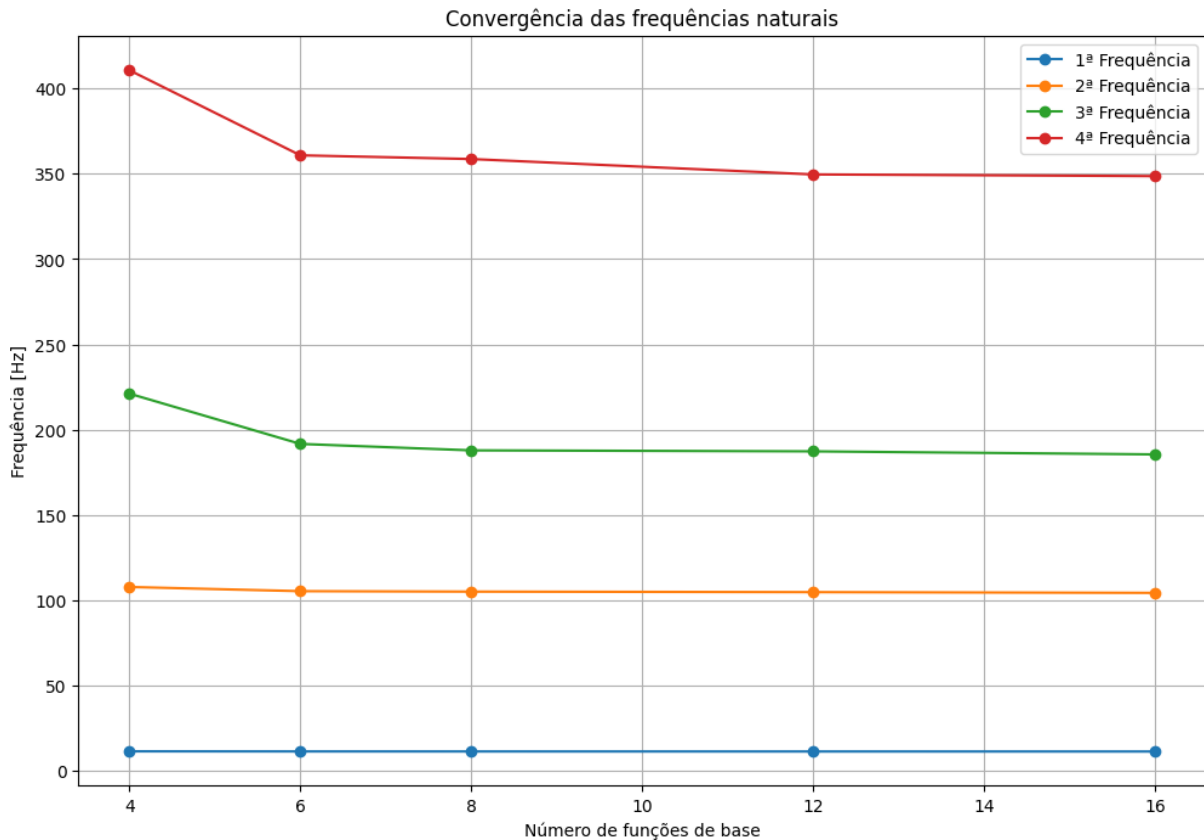
Plot da convergência de f_n em função do número de funções de base `nfunc` utilizadas.

In [256...

```
primeira_freq = []
segunda_freq = []
terceira_freq = []
quarta_freq = []

for i in n_funcoes:
    primeira_freq.append(np.real(fn_dict[i][0]))
    segunda_freq.append(np.real(fn_dict[i][1]))
    terceira_freq.append(np.real(fn_dict[i][2]))
    quarta_freq.append(np.real(fn_dict[i][3]))

plt.figure(figsize=(12,8))
plt.plot([4,6,8,12,16], primeira_freq, label='1ª Frequência', marker='o')
plt.plot([4,6,8,12,16], segunda_freq, label='2ª Frequência', marker='o')
plt.plot([4,6,8,12,16], terceira_freq, label='3ª Frequência', marker='o')
plt.plot([4,6,8,12,16], quarta_freq, label='4ª Frequência', marker='o')
plt.legend()
plt.grid()
plt.xlabel('Número de funções de base')
plt.ylabel('Frequência [Hz]')
plt.title("Convergência das frequências naturais")
plt.show()
```



Método de Elementos Finitos (FEM)

Primeiramente é definido de forma simbólica o ξ e o a (tamanho do elemento), permitindo escrever o vetor $\eta(\xi)$ de funções de forma do elemento.

```
In [55]: xi, a = sp.symbols('\xi a')

eta = sp.Matrix([1/4*(2-3*xi+xi**3),
a/4*(1-xi-xi**2+xi**3),
1/4*(2+3*xi-xi**3),
a/4*(-1-xi+xi**2+xi**3)])

num_elems = [8, 16, 64]
num_nos = [num_elem + 1 for num_elem in num_elems]
num_gls = [2 * nos for nos in num_nos]
tamanho_elem = [L / elem for elem in num_elems]
posicao_nos = [np.linspace(0, L, nos) for nos in num_nos]
```

Em seguida é implementado a obtenção da matriz de rigidez do elemento, e a matriz de massa do elemento, utilizando o método `subs()` para substituir os valores de ξ e a nas funções de forma.

```
In [56]: nos_molas = [L/4, 3*L/4]
nos_eng = [L/8, 3*L/4]

# Viga engastada
gls_restritos = [0, 1]
```



```

Matrizes_massa = []
Matrizes_rigidez = []

# Primeiro loop para calcular as matrizes de massa e rigidez variando o número de e
for enum, num_elem in enumerate(num_elems):

    # Calcula as integrais de massa e rigidez para um elemento (tendo o tamanho do
    eta_num_elem = eta.subs(a, tamanho_elem[enum])
    integral_massa = sp.integrate(eta_num_elem*eta_num_elem.T, (xi, -1, 1))
    integral_rigidez = sp.integrate(eta_num_elem.diff(xi, 2)*eta_num_elem.diff(xi,

    # Define os graus de liberdade das engrenagens e das molas
    gl_engs = [int(np.argmin(np.abs(posicao_nos[enum] - no_eng))) * 2 for no_eng in
    gl_inercia = [gl + 1 for gl in gl_engs]
    gl_molas = [int(np.argmin(np.abs(posicao_nos[enum] - no_mola))) * 2 for no_mola

    # Inicializa as matrizes globais de massa e rigidez
    M_global = sp.Matrix.zeros(num_gls[enum], num_gls[enum])
    K_global = sp.Matrix.zeros(num_gls[enum], num_gls[enum])

    # Faz um loop em cada elemento
    for elem in range(num_elem):
        # Define os nós do elemento
        nos_elem = np.linspace(0, L, num_elem+1)[elem:elem+2]
        # Inicializa as matrizes do elemento
        M_e = sp.Matrix.zeros(4, 4)
        K_e = sp.Matrix.zeros(4, 4)

        # Substitui as posicoes dos nós no elemento e calcula Rho, A, E e I_z
        rhoA_e = (rho * A).subs(x, nos_elem[0]) * tamanho_elem[enum]
        EIZ_e = (E * I_z).subs(x, nos_elem[0]) / tamanho_elem[enum] ** 3

        # Calcula as matrizes de massa e rigidez do elemento
        M_e = (rhoA_e * integral_massa).evalf()
        K_e = (EIZ_e * integral_rigidez).evalf()

        # Adiciona as matrizes do elemento nas matrizes globais
        M_global[2*elem:2*elem+4, 2*elem:2*elem+4] += M_e
        K_global[2*elem:2*elem+4, 2*elem:2*elem+4] += K_e

    M_global = np.array(M_global).astype(np.float64)
    K_global = np.array(K_global).astype(np.float64)

    # Adiciona as molas e inércias das engrenagens
    M_global[gl_engs, gl_engs] += m_r
    M_global[gl_inercia, gl_inercia] += J
    K_global[gl_molas, gl_molas] += 2*k_mola

    # Remove os graus de liberdade restritos
    M_global = np.delete(M_global, gls_restritos, axis=0)
    M_global = np.delete(M_global, gls_restritos, axis=1)
    K_global = np.delete(K_global, gls_restritos, axis=0)
    K_global = np.delete(K_global, gls_restritos, axis=1)

```

```
Matrizes_massa.append(M_global)
Matrizes_rigidez.append(K_global)
```

A partir das matrizes globais é resolvido o problema de Autovalor, como feito anteriormente no MRR.

```
In [57]: fem_fn = []
fem_a = []

for enum in range(len(num_elems)):
    # Autovalores e autovetores
    omega, a = linalg.eig(Matrizes_rigidez[enum], Matrizes_massa[enum])

    # Frequências naturais
    fn, ind = np.unique((np.sqrt(omega) / (2 * np.pi)).real, return_index=True)
    # Ordenando os autovetores
    a = a[:, ind]

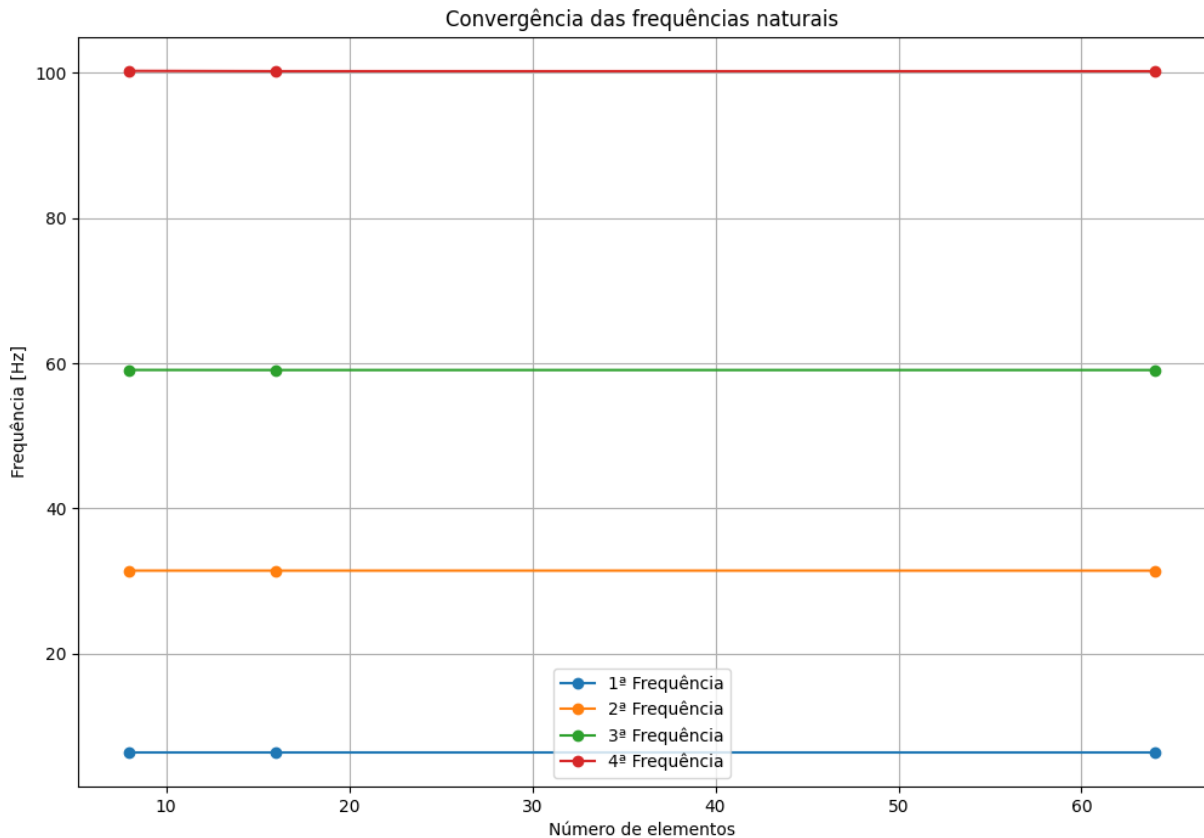
    # Normalização dos autovetores
    D = np.sqrt(np.diag(np.dot(a.T, np.dot(Matrizes_massa[enum], a))))
    a = np.dot(a, np.diag(1/D))

    fem_fn.append(fn)
    fem_a.append(a)
```

Em sequência é plotado a convergência de f_n em função do número de elementos utilizados.

```
In [58]: primeira_freq = [fn[0] for fn in fem_fn]
segunda_freq = [fn[1] for fn in fem_fn]
terceira_freq = [fn[2] for fn in fem_fn]
quarta_freq = [fn[3] for fn in fem_fn]

plt.figure(figsize=(12,8))
plt.plot(num_elems, primeira_freq, label='1ª Frequência', marker='o')
plt.plot(num_elems, segunda_freq, label='2ª Frequência', marker='o')
plt.plot(num_elems, terceira_freq, label='3ª Frequência', marker='o')
plt.plot(num_elems, quarta_freq, label='4ª Frequência', marker='o')
plt.legend()
plt.grid()
plt.xlabel('Número de elementos')
plt.ylabel('Frequência [Hz]')
plt.title("Convergência das frequências naturais")
plt.show()
```



A seguir serão plotados os 4 primeiros modos de vibração, comparando com os resultados obtidos pelo MRR.

```
In [60]: N=4
# Define the x-axis values

# Set the size and position of the figure
plt.figure(figsize=(12,8))
x_plot = np.arange(0, L+tamanho_elem[-1], tamanho_elem[-1])[1:]
x_plot_mrr = np.linspace(0, L, 1000)

# Loop over each vibration mode
for k_ in range(1, N+1):

    # Create a subplot for the current mode
    plt.subplot(2, 2, k_)

    # Plot the vibration mode
    plt.plot(x_plot, fem_a[-1][0:-1:2, :][:, k_-1], linewidth=2, markersize=8, marker='o')
    plt.plot(x_plot_mrr, sp.lambdify(x, u_x[k_-1], 'numpy')(x_plot_mrr).real, linewidth=2, color='red')

    # Add labels and titles
    plt.grid(True)
    plt.title(f"{k_}º Modo", fontsize=14)
    plt.xlabel("x [m]", fontsize=14)
    plt.ylabel(f"$u_{k_}(x)$ [m]", fontsize=14)
    plt.xlim(0, L)
    plt.legend()
```

```
# Set the tick labels
plt.yticks(fontsize=14)

# Set the tick label interpreter to latex
plt.tick_params(labelsize=14)
```

```
# Add spacing between subplots
plt.tight_layout()
```

```
# Show the plot
plt.show()
```

